

บทที่ 4

การเปรียบเทียบผลการทดลองกับการคำนวณที่ได้จากทฤษฎี

ในบทนี้จะกล่าวถึงการนำทฤษฎีที่สำคัญบางทฤษฎีมาคำนวณค่า K ของวัสดุโพลีเมอร์ (Polymer) เพื่อเป็นตัวอย่างพอสังเขป ซึ่งในความเป็นจริงแล้ว ปัจจุบันทฤษฎีต่าง ๆ ที่ใช้ในการคำนวณค่า K ยังมีความแม่นยำ ไม่เพียงพอ เมื่อเทียบกับผลการทดลอง และทฤษฎีส่วนใหญ่จะมีรากฐานมาจากการสังเกตพฤติกรรมเชิงความร้อนของเดอบาย (Debye) ในบทนี้จะกล่าวถึงการพัฒนาทางทฤษฎีและตัวอย่างการคำนวณเพื่อนำมาเปรียบเทียบกับผลการทดลองว่ามีค่าสอดคล้องกันแค่ไหน

4.1 สมการของเดอบาย² (Debye's equation)

ทฤษฎีทั่วไปส่วนใหญ่ได้แสดงปรากฏการณ์เกี่ยวกับการนำความร้อนของวัสดุ โดยอาศัยความเข้าใจในลักษณะแบบจำลองของโฟนอน (Phonon Model) ขบวนการนี้พลังงานจะมีลักษณะเป็นกลุ่มหรือก้อน พลังงานนี้ผ่านระดับชั้นต่าง ๆ ด้วยความเร็วเท่าเสียง และพลังงานที่ผ่านไปจะเป็นสัดส่วนกับความหนาแน่นและความจุความร้อน สำหรับในผลึกของแข็ง เช่น โพลีเมอร์ พฤติกรรมของโมเลกุลจะมีบทบาทในการกำหนดค่าพลังงานความร้อนที่ส่งผ่านไปในผลึก

จากสมการ (1.3.7) ในบทที่ 1 เขียนใหม่ตามเงื่อนไขของเดอบายได้ว่า

$$K = \Lambda c_v \rho u L \quad (4.1.1)$$

เมื่อ K = สภาพการนำความร้อน, c_v = ความจุความร้อนเฉพาะเมื่อปริมาตรคงที่
 ρ = ความหนาแน่น, u = ความเร็วของคลื่นเสียง, L = ระยะห่างเฉลี่ยระหว่างโมเลกุล,
 Λ = ค่าคงที่

ต่อมาในปีค.ศ. 1954-1956 คาร์ดอส (Kardos), ซากิยาดิส (Sakiadis) และ เคาลิส (Coulis) ได้ปรับปรุงสมการใหม่กลายเป็น

$$K \approx c_p \rho u L \quad (4.1.2)$$

4.2 ฟังก์ชันของความเร็วเสียงในโมล (Molar Sound Velocity function or The Rao function)

Rama Rao ได้แสดงให้เห็นว่าสำหรับของเหลวประเภทของเหลวอินทรีย์ (Organic liquid) อัตราส่วนของ $u^{1/3}/\rho$ แท้จริงแล้วไม่ขึ้นกับอุณหภูมิและในสภาวะรวมจะเขียนสมการได้ว่า

$$U = (M/\rho) u_{long}^{1/3} \quad (4.2.1)$$

- เมื่อ U = ฟังก์ชันของความเร็วเสียงในโมล (Rao function)
 M = มวลโมเลกุล (Molecular weight)
 u_{long} = ความเร็วเสียงตามยาว (longitudinal sound velocity)

สำหรับวัสดุประเภทไอโซทรอปิก ($K_x = K_y = K_z$) ค่า U จะต่างไปจากสสารที่อยู่ในสถานะของเหลว ซึ่งชอเยอร์ (Schuyer) ได้แสดงค่า U ไว้เป็น

$$U = V u^{1/3} \left[\frac{1+\nu}{3(1-\nu)} \right]^{1/6} \quad (4.2.2)$$

เมื่อ V ปริมาตรต่อโมล, ν อัตราส่วนของปัวซอง (Poisson ratio) ซึ่ง มีความหมายดัง (4.2.3) และสำหรับของเหลว $\nu = 1/2$ สมการ (4.2.2) จะกลับเป็น (4.2.1)

$$\nu = \frac{\text{อัตราการเปลี่ยนของด้านกว้างต่อหน่วยพื้นที่}}{\text{อัตราการเปลี่ยนแปลงของด้านยาวต่อ 1 หน่วยพื้นที่}} \quad (4.2.3)$$

ซึ่งค่า ν ของโพลิเมอร์ชนิดต่าง ๆ แสดงอยู่ในตาราง 4.1

ตาราง 4.1 แสดงค่าอัตราส่วนปัวซองของโพลิเมอร์ชนิดต่าง ๆ

ชื่อชนิด โพลิเมอร์	C_p ($10^3 \text{ J/kg}\cdot\text{k}$)	ρ (10^3 kg/m^3)	Poisson ratio (ν)
ยางธรรมชาติ	-	0.91	0.49 ⁵
โพลีเอทิลีน (LD)	1.63	0.92	0.49
ไนลอน	1.47	1.14	0.44
โพลีเมทิล เมทอะไซเลท	1.38	1.17	0.40
โพลีไธรีน	1.21	1.05	0.38
อีพอกซี เรซิน	1.25	1.18	0.4

จัดสมการ (4.2.2) ใหม่ได้เป็น

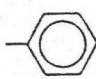
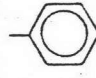


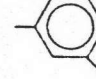
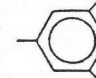
$$\mu_{\text{long}} = \left(\frac{U}{V} \right)^3 \left(\frac{3(1-\nu)}{1+\nu} \right)^{1/2} \quad (4.2.4)$$

แทนค่า μ_{long} ลงในสมการ (4.1.2) จะได้ว่า

$$K = C_p \rho L \left(\frac{U}{V} \right)^3 \left(\frac{3(1-\nu)}{1+\nu} \right)^{1/2} \quad (4.2.5)$$

ค่า U จะเป็นไปตามตาราง 4.2

ตาราง 4.2 แสดงค่าราวฟังก์ชัน (Rao function) ในหน่วย $\text{cm}^{10/3}/\text{s}^{1/3}.\text{mol}$.

Group	U		Group	U	
	in liquids	in solid polymers		in liquids	in solid polymers
$-\text{CH}_3$	1360	1400	$-\text{F}$		(500)
$-\text{CH}_2-$	895	880	$-\text{Cl}$	1060	1150
$\diagup\text{CH}-$	460	450	$-\text{Br}$	1180	
$\diagdown\text{C}$	40	50	$-\text{I}$	1400	
$=\text{CH}_2$	1235		$-\text{O}-$	350	400
$=\text{CH}-$	745	700	$-\text{OH}$	630	600
$=\text{C}'$	255	50	$-\text{CO}-$	870	900
CH_2	760		$-\text{COO}-$	1220	1250
C	260		$-\text{COO}-$	1570	1600
			$-\text{COOH}$	1430	
	4045	4650			
	3555	4100	$-\text{NH}_2$	965	
	3500		$-\text{NH}-$	640	
	3450		$\text{N}-$	65	100
		3700	$-\text{C}\equiv\text{N}$	1310	
		3350	$-\text{CONH}-$	1365	1700

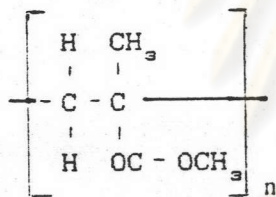
4.3 ตัวอย่างการคำนวณเทียบกับผลการทดลอง

หัวข้อนี้จะคำนวณค่าสภาพการนำความร้อนของพลาสติก PMMA หรือ Poly (methyl methacrylate) ณ.อุณหภูมิห้องเพื่อเปรียบเทียบกับผลการทดลองที่ทำการทดลองได้ในบทก่อน โดยจะคำนวณจากสมการ (4.1.6)

$$K = C_p \rho L(U/V)^3 (3(1-\nu)/(1+\nu))^{1/2} \quad (4.3.1)$$

จากตาราง 4.1 จะได้ว่า $C_p = 1380 \text{ J/kg}\cdot\text{K}$, $\rho = 1.17 \text{ g/cm}^3$, $\nu = 0.40$
 M ของ PMMA จะมีค่าเป็น 100.1 g/mol และ $L = 5.0 \times 10^{-11} \text{ m}$

ต่อไปคำนวณหาค่า U จากตาราง 4.2 ซึ่งสูตรโครงสร้างทางเคมีของ PMMA คือ



	U
1 (-CH ₂ -)	880
1 (C)	50
2 (CH ₃)	2300
1 (-COO-)	1250
	<u>4980</u>

ดังนั้น $U/V = 4980/(100.1/1.17) = 58.2 \text{ (cm}^{1/3}/\text{S}^{1/3})$ หรือ
 $(U/V)^3 = 1.97 \times 10^3 \text{ m/s.}$

แทนค่าในสมการ (4.3.1) จะได้

$$K = 1380 \times 1170 \times 5 \times 10^{-11} \times 1.97 \times 10^3 \times 1.13$$

ดังนั้น $K = 0.18 \text{ J/S.m.K}$

ซึ่งจากการทดลองในบทที่ 2, 3 เราจะได้ค่า $K \approx 0.19 \text{ J/S.m.K}$ จึงถือได้ว่าผลทางทฤษฎีและผลการทดลองจากเครื่องมือที่พัฒนาขึ้นสอดคล้องกันพอสมควร ซึ่งจากขั้นตอนต่าง ๆ เริ่มตั้งแต่การสร้างเครื่องมือ, การเตรียมการทดลอง และการทดลอง ทุกขั้นตอนไม่มีความยุ่งยากมากนัก ดังนั้นเครื่องมือที่พัฒนาขึ้นจึงความเหมาะสมที่จะนำไปใช้ในห้องปฏิบัติการได้ แล้วแต่โอกาส และจุดประสงค์ของผู้นำไปใช้



ศูนย์วิทยทรัพยากร
จุฬาลงกรณ์มหาวิทยาลัย